

# Polarografická analýza v metalurgii

JAROSLAV HEYROVSKÝ

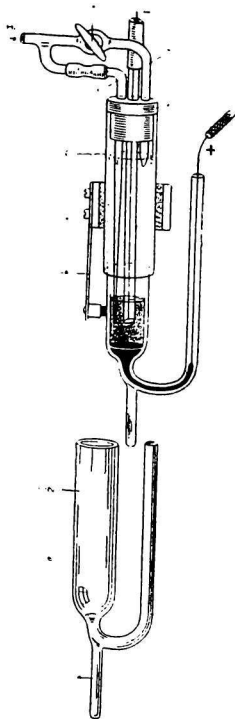
V posledním desetiletí velmi vzrostl počet pojednání o použití polarografické analýzy v metalurgii. Dobrá třetina polarografické bibliografie, jež dnes čítá přes 2000 statí, je věnována stanovení iontů kovů. Ačkoliv nelze v krátkosti vyznačit všechny obměny, jimiž se takovéto analytické předpisy vyznačují, pokusím se v hlavních rysech vyložit principy metalurgické polarografie, podati význačné ukázky speciálních stanovení a vymezení jejich použitelnost.

K laboratornímu zařízení jest třeba automaticky registrujícího polarografu s příslušným náčiním.\*) Jelikož v metalurgii nezáleží na milligramech materiálu, není zapotřebí speciálních polarografických nádobek na objemy roztoků pod 1 ml a používá se, kde jen je možno, otevřených kádinek s obsahem 5—15 ml. Roztoky, které je nutno před analýsou zbavit vzdušného kyslíku, chováme v nádobkách, probublávaných dusíkem nebo vodíkem, a to buď v konických, nebo v nádobce J. V. A. N o v á k a (1) na seriovou analýsu.\*) (obr. 1). Tam, kde je třeba chovat zkoumaný roztok odděleně od velké rtuťové elektrody, hodí se nádobka K a l o u s k o v a (obr. 2!).

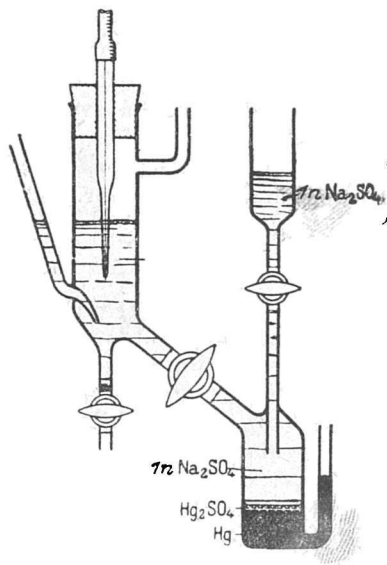
Příprava roztoků jest rozmanitá a záleží na kově a jeho složkách, které chceme stanovit. Rozpouštění odváženého vzorku (od 5 až do 500 mg!) děje se obvyklým způsobem pomocí silných kyselin, jichž nadbytek obyčejně odpaříme a pak teprve připravíme indifferentní elektrolyt; koncentrace složek jež chceme stanovit, má býti  $5 \cdot 10^{-4}$  až  $10^{-3}$  molární. Složení elektrolytu je přesně stanoveno, tak aby způsoboval dobře měřitelné difusní proudy a potenciály půlvln, jimiž stanovíme přítomné ionty; současně má zabrániti splývání vln složek (t. zv. koincidence) a potlačiti účinky složek, jež by při stanovení překážely. Tak na př. v rudách zhusta se vyskytující se železo, měď a zinek eliminujeme použitím l u K C N jako indifferentního elektrolytu, abychom mohli ostatní složky stanovit s patřičnou přesností. K určení mědi a zinku připravíme roztok amoniakální, k určení železa citrátový či tartrátový. Převážně používáme roztoků alkalických, neboť v nich nedochází k rušivému vylučování vodíku. Vedle amoniakálního roztoku hodí se též roztok pyridinový, triethanolaminový, kyanidový, rhodanidový, fluoridový. Abychom potlačili maxima na polarografických křivkách, přidáváme gelatinu. Úsilí polarografistů směřuje k tomu, aby připravili pro analýsu roztok přímo ze vzorku způsobem co nejjednodušším a nejrychlejším, bez chemických operací jako jsou tavění a dělení pomocí srážení, filtrace, centrifugace a p., jež

\*) Dodává Zbrojovka-Brno, národní podnik, Praha XIII. Moskevská 659.

zdržují a snižují analytickou přesnost. Ideálem je rozpustit odváženou slitinu, její roztok doplnit na přesně známý objem vhodným elektrolytem a alikvotní části tohoto roztoku použít k polarografickému záznamu.



Obr. 1. Nádobka J. V. A. Nováka na seriovou analýzu.



Obr. 2. Nádobka Kalouskova s oddělenou referenční elektrodou.

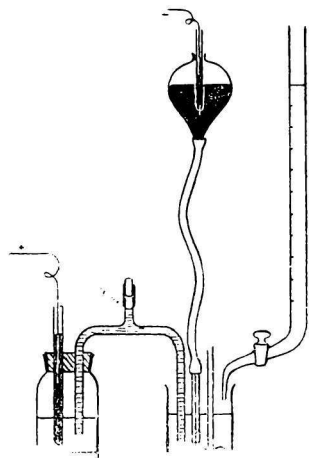
J. V. A. Novák (3) a M. Spálenka (4) ukázali na několika předpisech použitelnost takového postupu, jímž lze dojít k přesným výsledkům za 10 minut v případech, kde by pochod s gravimetrickou nebo volumetrickou analýzou trval několik dní.

Z kovů lze polarograficky určit prakticky všechny (použijeme-li případně i polarometrické titrace, o níž bude zmínka později), až na tantal, zirkon a některé kovy vzácných zemin.

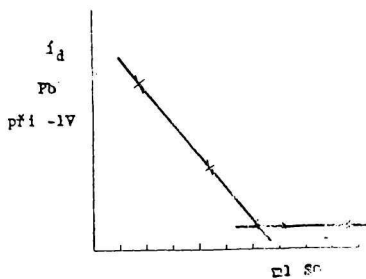
Přehledněme si polarografickou stanovitelnost kovů podle řady jejich depolarizačních potenciálů, tak jak se jeví z hodnot jejich půlvln. Pozorujeme, že při potenciálech negativnějších než  $-1,5$  V (od kalomelové elektrody) se vylučují kovy lehké, neušlechtilé, (s hustotou menší než 5), při pozitivnějších kovy těžké a to čím je kov ušlechtilější, tím pozitivnější je jeho vylučovací potenciál.

Lithium, natrium a kalium se stanoví podle V. M a j e r a (5) v alkalických roztocích kvarterních basí  $N(\text{CH}_3)_4\text{OH}$  nebo  $N(\text{C}_2\text{H}_5)_4\text{OH}$ . Následkem nepříznivé koincidence půlvolných potenciálů iontů  $\text{K}^+$  a  $\text{Na}^+$  obdržíme polarograficky součet obou. K jejich rozlišení je nutno použít polarometrické titrace podle B. S a n d b e r g a (6).

Princip polarometrických titrací (7) spočívá v měření difusního proudu hledané složky na př. iontů  $\text{Pb}^{2+}$  při konstantním napětí (na př. 1,0 voltu). Odstraňujeme-li ionty  $\text{Pb}^{2+}$  srážením v 50 % alkoholu kyselinou sírovou, přidávanou z byřety (obr. 3), klesá difusní proud úměrně koncentraci iontů  $\text{Pb}^{2+}$  a v ekvivalenčním bodě je téměř nula. Podle I. M. K o l t h o f f a (8) nalezneme tento bod přesně jako průsečík dvou přímek, z nichž jedna je proložena dvěma stanoveními difusních proudů před dosažením ekvivalenčního bodu a druhá dvěma hodnotami po překročení tohoto bodu (obr. 4). Těž je možno přidávat obráceně do kyseliny sírové, která je v polarografické nádobce, olovnatý roztok z byřety. Pak má titrační diagram tvar obr. 5. Místo síranu lze též použít k titraci

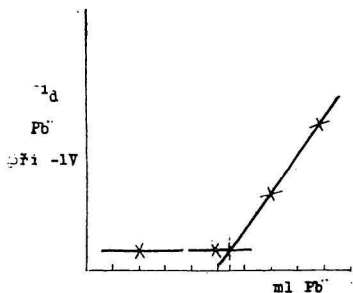


Obr. 3. Zařízení pro polarometrické titrace.

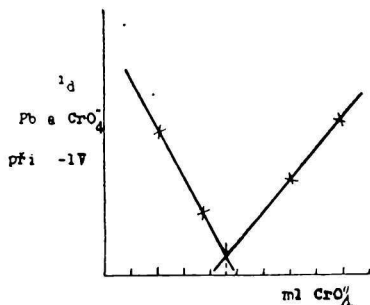


Obr. 4. Polarometrická titrační křivka; v byřetě  $\text{SO}_4^{2-}$ , v nádobce  $\text{Pb}^{2+}$ .

iontů  $\text{Pb}^{2+}$  chromanu (9) za přítomnosti octové kyseliny. Ježto při napětí 1 voltu redukuje se jak chroman tak i ionty  $\text{Pb}^{2+}$ , projeví se ekvivalenční bod ostrým minimem, neboť v nadbytku iontů  $\text{Pb}^{2+}$  či  $\text{CrO}_4^{2-}$  difusní proud opět vzrůstá. Při této titraci obdržíme tedy diagram obr. 6. Chroman redukuje se však v kyselém prostředí i při potenciálu kalomelové elektrody, takže obdržíme difusní proud iontů  $\text{CrO}_4^{2-}$ , když krátce spojíme reservoir rtuťové kapkové elektrody s vedlejší kalomelovou elektrodou, jejíž násoska je ponořena do zkoumaného roztoku (obr. 3.). V tomto případě



Obr. 5. Titrací křivka, v byretě Pb<sup>2+</sup>, v nádobce SO<sub>4</sub><sup>2-</sup>.



Obr. 6. Titrací křivka, v byretě CrO<sub>4</sub><sup>2-</sup>, v nádobce Pb<sup>2+</sup>.

nepotřebujeme potenciometrického drátu, ani akumulátoru a můžeme měřit bez polarografu a galvanometru, zařadíme-li mezi kapkovou a kalomelovou elektrodu mikroampermetr. Titrací diagram při vnějším napětí rovném nule má tvar obr. 4, je-li v byretě roztok olovnatý a tvar obr. 5, je-li v byretě chroman.

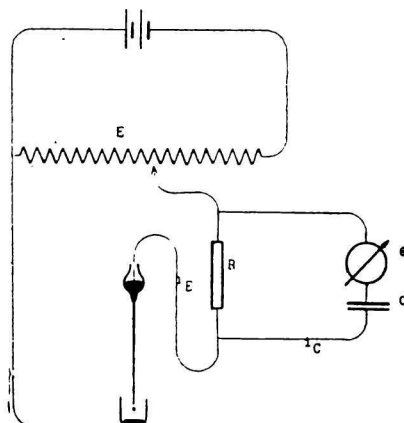
Polarometricky lze titrovat i složky, jež nejsou depolarisátory, jako SO<sub>4</sub><sup>2-</sup>, PO<sub>4</sub><sup>3-</sup>, jen když reagují s depolarisátorem (tedy s Pb<sup>2+</sup> nebo s BiO). A. Langer (10) navrhl titraci iontu Th<sup>4+</sup> ionty fluoridovými, z nichž žádný není depolarisátorem. Úplné srážení iontů Th<sup>4+</sup> nám tu indikuje vlna redukce přidaných iontů NO<sub>3</sub><sup>-</sup>, při napětí 1,5 V, která vzniká jen za přítomnosti vícemocných kationtů (Th<sup>4+</sup>, Al<sup>3+</sup>, UO<sub>2</sub><sup>2+</sup>).

Jako depolarisátorů při polarometrických titracích užívá se vhodně též organických činidel, na př. dimethylglyoximu (na Ni<sup>2+</sup>),  $\alpha$ -nitroso- $\beta$ -naftolu (na Cu<sup>2+</sup>, Co<sup>2+</sup>), „oxinu“ t. j. 8-hydroxy-chinolinu (na Mg<sup>2+</sup>, Al<sup>3+</sup>, Cd<sup>2+</sup>), kyseliny picrolonové (na Ca<sup>2+</sup>), a salicylaldoximu (na Cu<sup>2+</sup>).

Polarometrické titrace mají ty výhody, že je lze provádět ve velkém zředění, může být přítomno i více složek, a přesnost je větší než při odčítání polarografických vln, t. j. 0,3% bez thermostatu proti 1% přesnosti obyčejné polarografie.

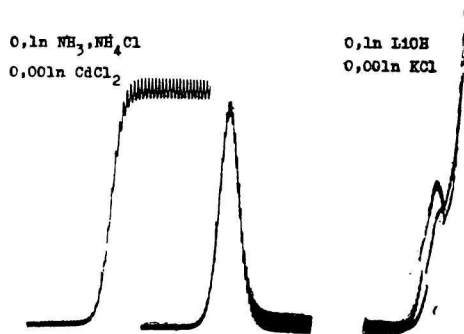
Z uvedeného je patrné, že polarometrické titrace vhodně doplňují polarografickou analýsu, a že otvírají nové pole analytickému výzkumnictví. I. M. Kolthoff, jenž je nazývá titracemi amperometrickými, přiznává jim stejné oprávnění jako titracím potenciometrickým.

Sandbergova titrace iontu K<sup>+</sup> spočívá na jeho srážení dipicrylaminátem sodným v ústoji o pH = 13, při 0°C. Tato látka obsahuje šest skupin —NO<sub>2</sub> z nichž každá spotřebuje k redukci 4 elektrony; způsobuje tedy značný difusní proud a to při napětí 1,5 V, při čemž titrání diagram má tvar obr. 5.



Obr. 7. Derivační zařízení s kondensátorem.

U alkalických zemin jsou polarografické vlny iontů  $Ba^{++}$  a  $Sr^{++}$  v roztoku kvarterních basí dobře měřitelné, ale vlna  $Ca^{++}$  je nepřesně měřitelná protože tvoří vysoké maximum a spadá na viditelný difúzní proud. Ionty  $Mg^{++}$  vůbec netvoří difúzní proud, neboť amalgáma vylučujícího se magnesia rozkládá vodu. Proto ke stanovení těchto iontů používáme s prospěchem titrací buď s „oxinem“ (11, 12) nebo, podle A. Ringboma (13) fluoridem a pomocí „indikátorového“ iontu. Je jím v těchto případech iont  $Fe^{+++}$ , který se redukuje už při nulovém napětí (t. j. krátkém spojení obou rtuťových elektrod), ale v nadbytku iontů  $F^{-}$  tvoří komplex redukující se při velmi negativním potenciálu. Tato titrace spočívá v přidání soli železité (asi 1% obsahu  $Ca^{++}$  nebo  $Mg^{++}$ ) a

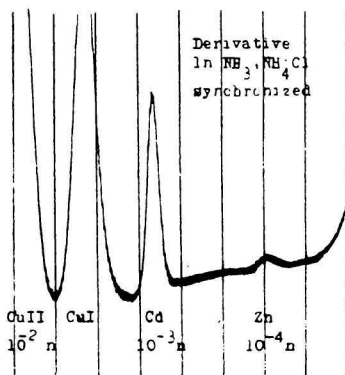


Obr. 8. Primitivní a derivační křivky; v levo 0,001 n  $CdCl_2$ , v pravo stopa draslíku (0,001 n  $KCl$ ) v roztoku lithném (0,1 n  $LiOH$ ).

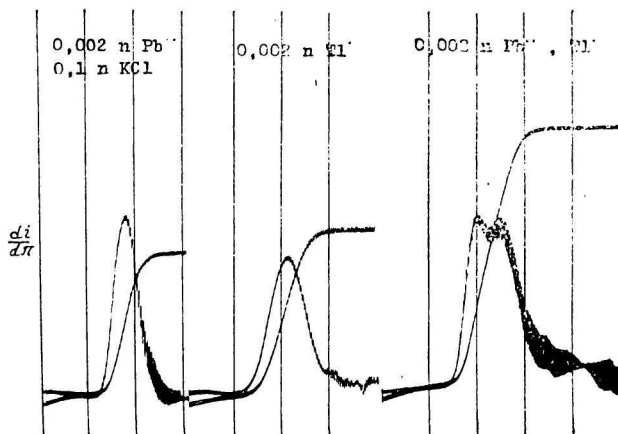
titruje se s fluoridem sodným. Jakmile se veškeré ionty  $\text{Ca}^{++}$  nebo  $\text{Mg}^{++}$  srazí, počne se vlna iontů  $\text{Fe}^{+++}$  náhle zmenšovat, t. j. diffusní proud při nulovém napětí klesá. Stejně lze použití této titrace i ke stanovení iontů  $\text{Al}^{+++}$ . Roztoky se zde připravují v 50% alkoholu s vodou.

Používání kvarterních basí ke stanovení alkalií a alkalických zemin má tu nevýhodu, že se snadno kazí odštěpujícími se aminy a že bývají znečištěny alkaliemi. Nový způsob, spočívající v registrování křivek *derivacních*,  $dI/dE - E$ , dovoluje však používání vodních 0,1 n roztoků hydroxydu lithného, chloridu lithného nebo chloridu vápenatého (14) na místě kvarterních basí. Nejjednodušší 3000  $\mu\text{F}$  v serii s galvanometrem a k nim paralelně je zapojen nodušší derivační zařízení (obr. 7) používá kondensátoru (o kapacitě 3000 F) v serii s galvanometrem a k nim paralelně je zapojen odpor (asi 300 ohmů). Výhody derivačních křivek u srovnání s primitivními křivkami polarografickými jsou: špička maxima na křivce derivační (obr. 8), která odpovídá inflexi vlny, udává svou polohou na ose úseček půlvlnový potenciál, tedy kvalitu, a svou výškou diffusní proud, tedy kvantitu. Toto maximum se rýsuje ostře i když diffusní proud není dobře vyvinut. Ježto každému diffusnímu proudu odpovídá v derivaci nulová poloha galvanometru, lze sledovat i stopy látek neušlechtilých v nadbytku depolarisátoru povahy ušlechtlejší (na př. stopy  $\text{Zn}^{++}$  v nadbytku  $\text{Cu}^{++}$ , obr. 9). Vlny, které překrytím téměř splývají, lze na derivační křivce rozlišovat a tím i stanovit jednotlivé složky (obr. 10). Dosud se tak podařilo rozlišit koincidence  $\text{Tl}^+ - \text{Pb}^{++}$  a  $\text{In}^{+++}$ ,  $\text{Cd}^{++}$ .

V metalurgické analýze jedná se hlavně o kvantitativní seriová stanovení. Za tím účelem registrujeme na polarogramu toliko vlnu složky, jejíž koncentraci je třeba určit, a to z několika různých vzorků na tentýž papír. Výpočet provádíme buď podle kalibračního diagramu nebo methodou standardního přídatku.



Obr. 9. Derivační křivky roztoku 0,01 n  $\text{Cu}^{++}$ , 0,001 n  $\text{Cd}^{++}$  a 0,0001 n  $\text{Zn}^{++}$  v 1 n  $\text{NH}_3$ , 1 n  $\text{NH}_4\text{Cl}$ .



Obr. 10. Rozlišení Pb<sup>++</sup> od Tl<sup>+</sup> derivační křivkou. Z leva k pravu: 0,002 n Pb<sup>++</sup>; 0,002 n Tl<sup>+</sup> a směs obou. Křivky primitivní a jejich derivate byly registrovány současně.

Kalibrační čáru obdržíme nanášením diffusních proudů proti příslušným koncentracím, připraveným z přesné navážky zkoumané složky. Tento diagram má obvykle tvar přímky, jak plyne ze zákona Ilkovičova. Neznámou koncentraci stanovíme pak odečtením úsečky, odpovídající naměřenému diffusnímu proudu. Při těchto měřeních jest třeba přesně dodržovati tytéž experimentální podmínky jako při obdržení kalibračního diagramu, t. j. touž teplotu, tutéž kapiláru, stejnou výšku reservoiru rtuti a totéž složení indifferentního elektrolytu. Nutno tedy používatí thermostatů, aby výsledky byly na 1% přesné.

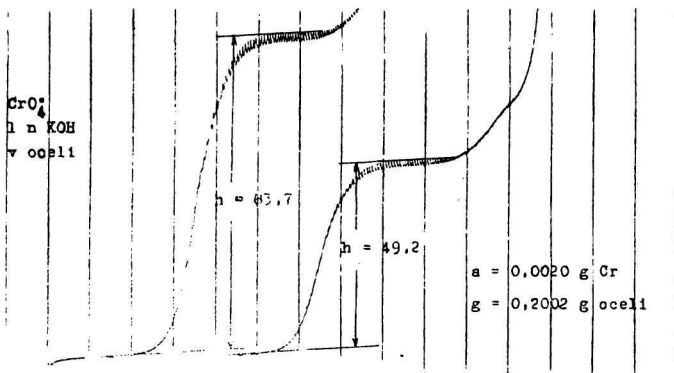
Při metodě standardního přídavku přidáme k roztoku o neznámé koncentraci přesně známé množství  $a$  té složky již určujeme a registrujeme diffusní proud s přidáním a bez přidání doplnivše oba roztoky na stejný objem. Z poměrného zvýšení diffusního proudu vypočteme procento složky  $x$  jako

$$x = \frac{a}{g} \cdot \frac{h}{h' - h} \cdot 100\%$$

při čemž  $g$  je navážka látky,  $h$  původní výška vlny a  $h'$  zvýšená vlna. Tato metoda jest jednodušší, neboť tu není třeba používatí thermostatů, protože při přidání zůstává teplota a ostatní činitele, jež mají vliv na výšku vlny konstantní a výsledek záleží jen na poměru obou výšek vlny. (obr. 11).

Ve zmíněných metodách je velkou výhodou okolnost, že výsledky nejsou rušeny případnou adsorpcí na vzniklé sraženinách, neboť lze očekávat, že část depolarisátoru ztracená adsorpcí je v roztocích o velmi blízkém složení vždy stejná, což také praxe potvrzuje.

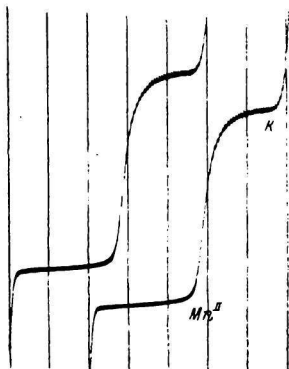
Z lehkých kovů lze stanovit aluminium přímo polarograficky z mírně kyselého roztoku síranu (při pH 2,6—3) (15).



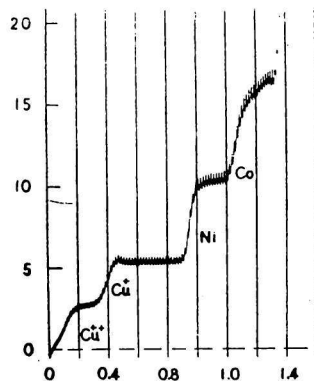
Obr. 11. Dolní křivka byla vzata s roztokem vzorku oceli, horní po přidání známého množství chromu.

Mangan patří k nejdokonaleji stanovitelným kovům, neboť jej lze přesně určit z roztoků chloridu lithného, amoniaku s chloridem amonným, kyanidu draselného (obr. 12.) rhodanidu draselného i anodicky oxydací manganu dvojmocného na mangan trojmocný, v silně alkalickém citrátu (16). Při nadbytku železa lze jej snadno stanovit v kyselém pyrofosfátovém komplexu (17) jako Mn (III).

Positivnější skupina, nikl, kobalt, dvojmocné železo a zinek dává dobře měřitelné vlny zejména v amoniaku s chloridem amonným, které mizí v nadbytečném louhu, až na vlnu iontů  $Zn^{2+}$ ; tuto lze těž oddělit triethanolaminem (18). Nikl a kobalt se odliší od sebe podstatně přidáním rhodanidu nebo pyridínu (19) obr. 13. Nikl lze polarometricky titrovat podle K o l t h o f f a a L a n g e r a (20)



Obr. 12. Stanovení manganu ve ferromanganu (10,8%) v roztoku 1 n KCN

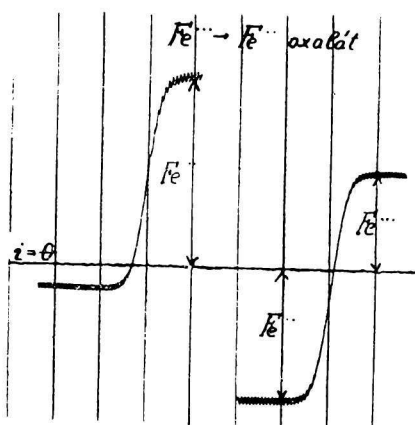


Obr. 13. Stanovení mědi, niklu a kobaltu v roztoku pyridinovém (0,13 m pyridin perchlorát, 0,13 pyridin, 0,02% gelatiny).

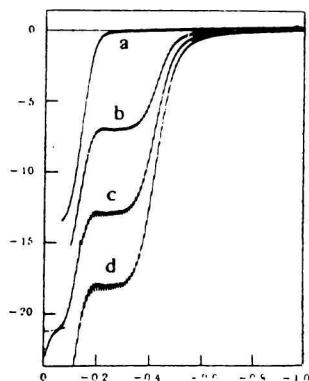


dimethylglyoximem v amoniakálním prostředí. Kobalt lze titrovat s  $\alpha$ -nitroso- $\beta$ -naftolem a určit ve velkém nadbytku niklu v alkalickém prostředí s dimethylglyoximem podle K. K o m á r k a (21).

Železo se v polarografii při analýze oceli zřídka určuje jakožto hlavní součást, častěji se stanoví příměšky v železe a železo samo jen tehdy, je-li přimíšeninou slitím nebo rud. Tu je stanovíme red-ox vlnou projevující se nejlépe v koncentrovaném tartátu nebo citrátu o  $\text{pH}=7$  (podle M. K a l o u s k a (22) a J. V. A. N o v á k a (23)). Z těchto polarogramů můžeme též vyčíst, jak velká část železa v roztoku je ve stavu trojmocném nebo i dvojmocném, neboť difusní proud katodický udává koncentraci iontů  $\text{Fe}^{+++}$  a anodický iontů  $\text{Fe}^{++}$  (obr. 14).



Obr. 14. Stanovení malých množství železa redox vlnou v oxalátovém ústoji.

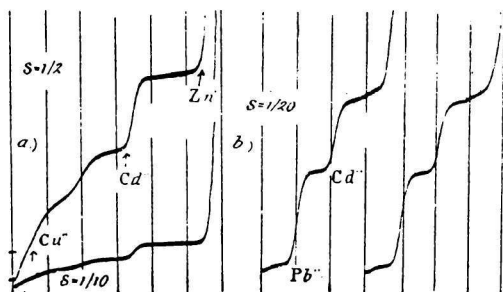


Obr. 15. Stanovení vanadu anodickou vlnou v 1 n NaOH, 0,08 m  $\text{Na}_2\text{SO}_4$ . Koncentrace vanadu: a) 0, b) 1.84, c) 3,25 d) 5,05 milimolární.

Při potenciálech  $-0,8$  až  $-0,9$  V se redukuje z kyselých roztoků ionty Cr (III), V(III) a Ti(IV) nebo jejich komplexní sloučeniny. Vanad se odlišuje tím, že jediný dává vlnu v alkalickém prostředí. Chrom lze určit podle M. S p á l e n k y (24), buď jako trojmocný v amoniakálním prostředí, nebo oxydovaný na ion  $\text{CrO}_4^{2-}$  v kyselém prostředí pomocí peroxydu vodíku; pak se nejlépe stanoví v 1 n KOH. (obr. 11.) Vanad se projevuje podle L i n g a n e a (25) dobře měřitelnou anodickou vlnou oxydace V (IV) na V (V) při potenciálu 0,4 V; Tak se stanoví vanad v oceli; je však nutno předem oddělit nadbytek iontů  $\text{Fe}^{++}$  „kontrolovanou elektrolysou“, t. j. vylučováním železa katodicky na stálé rtuťové elektrodě z kyselého roztoku, při čemž vanad zůstává v roztoku. Zmíněná „kontrolovaná elektrolysa“ byla zavedena L i n g a n e m (26), aby se před polaro-

grafováním odstranil z roztoku nadbytek součástí ušlechtilějších, které by svou depolarisací při pozitivních potenciálech snižovaly citlivost polarografického stanovení součástí méně ušlechtilých. Kontrolou elektrolyse je míněno přesné udržování katodického potenciálu na hodnotě, která je dána polarograficky stanoveným vylučovacím potenciálem.

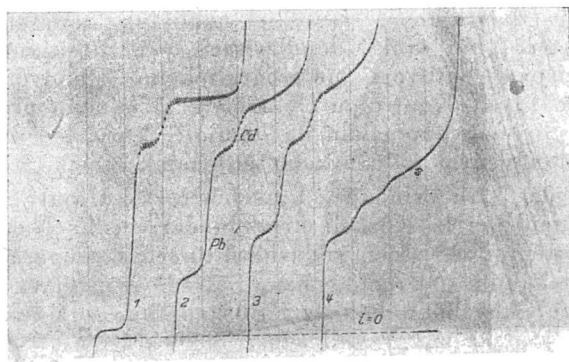
Při  $-0,6$  V se vylučují z kyselých roztoků ionty  $\text{Cd}^{2+}$  a  $\text{In}^{3+}$ . Jejich koincidenci lze rozlišit křivkou derivací. Nalezneme je jako znečištění ve všech rudách, slitinách a preparátech zinku. V amoniakálním a kyanidovém prostředí se projevuje jen kadmium samo. Abychom mohli zjistit kadmium a zinek v rudách zinkových, v nichž je zpravidla dosti mědi a železa, vyredukujeme z okyseleného roztoku měď a současně zredukujeme podle R. Krause a J. V. A. Nováka (3)  $\text{Fe}^{3+}$  na  $\text{Fe}^{2+}$  plískem čistého alumina; pak polarograficky stanovíme vlny olova a kadmia v tomto nebo v tartrátovém prostředí. (obr. 16).



Obr. 16. Analýza rud zinku na Cu, Pb, Cd. V levo stopy Cu a Cd v roztoku amoniakálním; v pravo stopy Pb a Cd v roztoku kyselém.

Ještě pozitivnější skupina iontů  $\text{Tl}^+$ ,  $\text{Pb}^{2+}$  a  $\text{Sn}^{2+}$  se vylučuje při  $-0,5$  V. Jelikož se ionty  $\text{Sn}^{2+}$  snadno oxidují, určuje se cín buď ze silně kyselého prostředí  $6 \text{ n HCl} + \text{NH}_4\text{Cl}$  při  $0$  V, kdež tvoří vlnu reakce  $\text{Sn}^{4+} \rightarrow \text{Sn}^{2+}$ , nebo se udržuje silně redukčními činidly ve stavu  $\text{Sn}^{2+}$  a určuje, k rozlišení od iontů  $\text{Pb}^{2+}$  a  $\text{Tl}^+$  v  $1 \text{ n KOH}$ . Tam tvoří vlnu při  $-1,18$  V kdežto olovo (jako olovnatan) při  $-0,81$  a thallium (mekomplexní) při  $-0,5$  V. Ionty  $\text{Pb}^{2+}$  a  $\text{Cd}^{2+}$  tvoří dobře měřitelné vlny v  $1 \text{ n KCN} + 2 \text{ n KOH}$ , čehož s prospěchem používá M. Spálenka (4) ke stanovení i stop  $0,001\%$  olova a kadmia v mosazích a bronzích a v jiných slitinách bohatých na měď, zinek nebo železo. (obr. 17).

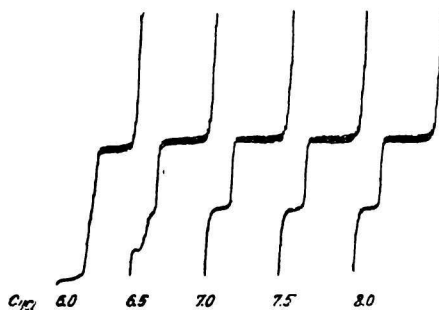
Kol potenciálu kalomelové elektrody se vylučují z kyselého prostředí ionty  $\text{Cu}^{2+}$ ,  $\text{Sb}^{3+}$  a  $\text{Bi}^{3+}$ ; lze je oddělit v  $10\%$  citrátu nebo tartrátu. Měď se nejlépe stanoví ve směsi  $\text{NH}_3 + \text{NH}_4\text{Cl}$  a dělá dvě charakteristické, stejně veliké vlny, při  $-0,3$  V ( $\text{Cu}^{2+} \rightarrow \text{Cu}^+$ ) a při  $-0,54$  V ( $\text{Cu}^+ \rightarrow \text{Cu}$ ). Ionty  $\text{Bi}^{3+}$  lze titrovat polarometricky v prostředí chloristé kyseliny fosfátem. Stopy antimonu v „tvrdém



Obr. 17. Stanovení stop olova a kadmia v zinku, bronzích a mědi pomocí roztoku NaOH+KCN. Křivka 4 udává 0,002% Cd a 0,006% Pb v Zn, s citlivostí 1 : 5.

olovu" se velmi rychle stanoví podle R. Krause a J. V. A. Nováka (27) rozpuštěním v HCl + Br<sub>2</sub>, a polarografickým záznamem pp vyvaření bromu. Sb<sup>III</sup> dělá vlnu při -0,2 V (obr. 18)

Skupinu molybdenu, wolframu a uranu dlužno předem chemicky dělit. Wolfram se stanoví jako WO<sub>3</sub> v koncentrované kyselině solné při -0,4 V, ionty MoO<sub>4</sub><sup>2-</sup> v dusičné kyselině dávají dvě vlny při -0,37 V a -0,55 V (28).

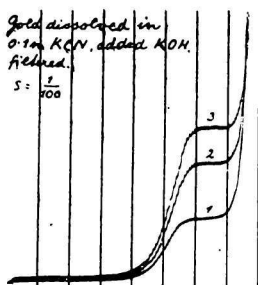


Obr. 18. Stanovení vizmutu v tvrdém olovu. Vlna Sb III → Sb v konc. HCl.

Pro stopy uranu v nadbytku železa vypracoval metodu R. Strubl (29), spočívající v tom, že zredukuje Fe<sup>III</sup> na Fe<sup>II</sup> zavařením s hydrazinem nebo hydroxylaminem v kyselém prostředí a změří vlnu U (VI) → (V) při -0,2 V.

I nejušlechtilější kovy jako zlato, stříbro, rtuť, platina, osmium, iridium, paladium, rhodium lze ve vhodných roztocích jejich komplexních sloučenin polarograficky stanoviti. Na př. zlato podle J. Hermána (30) jako jednocenné v 0,1 n KCN + 2 n KOH (obr. 19).

Ze vzácných zemín lze stanovit europium, ytterbium a samarium, které tvoří vlny red-ox systému typu  $\text{Eu}^{2+} \rightarrow \text{Eu}^{3+}$ . Zde se naskytá polarografistům ta pozoruhodná výhoda, že ze všech vzácných zemín europium, v přírodě nejméně se vyskytující, tvoří vlnu při potenciálu nejpositivnějším ( $-0,8 \text{ V}$ ), takže nepatrné stopy tohoto prvku lze snadno stanovit v nadbytku všech ostatních zemín (31). I cer lze stanovit, oxydujeme-li roztok v sírové kyselíně hydroperoxydem. Tu vzniká vlna  $\text{Ce}^{3+} \rightarrow \text{Ce}^{4+}$  při pozitivním potenciálu.



Obr. 19. Stanovení zlata v roztoku 0,1 n KCN, 1 n KOH; roztok obsahuje zlato ve formě jednomocné.

Srovnáme-li posavadní výsledky polarografické analýsy v metalurgii s jinými fyzikálními metodami, používanými v tomto oboru, hlavně se spektrografií a kolorimetrií, shledáme, že je svou přesností, citlivostí a úsporou času i materiálu v mnohých případech předčí, v jiných opět nedostihuje. Podle nedávného vyjádření předsedy mezinárodního sjezdu analytických chemiků v Utrechtu (1948), profesora Van Nieuwenburga závodí spolu tyto metody rovnomocně (32). Nyní jest na nás, polarografitech, abychom v překotném rozvoji moderní analýsy udrželi krok s ostatními fyzikálními metodami. Doufám, že se nám to s pomocí zdatných polarografistů slovenských — jako profesorů *Ilkoviče*, *Stankovianského* a *Dillingera* — podaří.

#### Literatura.

1. J. V. A. Novák: Collection 12 (1947) 237—244,
2. M. Kalousek: Collection 11 (1939) 469.
3. R. Kraus a J. V. A. Novák: Collection 10 (1938) 534—541
4. M. Spálenka: Z. f. analyt. Chem. 126 (1943) 49—59,
5. V. Majer: Z. f. analyt. Chem. 92 (1933) 321—351,
6. B. Sandberg: Svensk Kemisk Tidskrift 58 (1946) 197—206.
7. J. Heyrovský: Bull. Soc. Chim, France 41 (1927) 1224—1241,  
J. Heyrovský: a S. Berezický: Collection 1 (1929) 16—46.  
V. Majer: Z. f. Elektrochem. 42 (1936) 120—123, 123—127,
8. I. M. Kolthoff a Y. D. Pan: Journ. Amer. Chem. Soc. 61 (1939) 3402—9,
9. I. M. Kolthoff: Rec. trav. chim, Pays-Bas 59 (1940) 922,

10. **A. Langer:** *Ind. Eng. Chem. (Anal. Ed.)* **12** (1940) 511—514.
11. **K. G. Stone a N. H. Furman:** *Ind. Eng. Chem. (Anal. Ed.)* **16** (1944) 596—598 (1948).
12. **T. D. Parks a L. Lykken:** *Analyt. Chem.* **20** (1948) 1102—7.
13. **A. Ringbom:** *Tekn. Tidskrift*, **77** (1947) 755—9  
**A. Ringbom a B. Wiekman:** *Acta Scandin.* **3** (1949) 22—28.
14. **J. Heyrovský:** *Analyst* **72** (1947) 229—34.  
**J. Heyrovský:** *Analyt. chim. acta* **2** (1948) 533—41.
15. **G. Semerano a I. Ronchi:** *Atti R. Istit. Veneto Sci. Lettere. Arti* (1941) II. 397—417.
16. **E. T. Verdier:** *Collection* **11** (1939) 233—42.
17. **I. M. Kolthoff a J. I. Watters:** *Ind. Eng. Chem. (Anal. Ed.)* **15** (1943) 8—13.
18. **H. Wolfson:** *Nature* **153** (1944) 575—6,  
**G. Jessop:** *Nature* **158** (1946) 59.
19. **J. J. Lingane a H. Kerlinger:** *Ind. Eng. Chem. (Anal. Ed.)* **13** (1941) 77-80  
(*Anal. Ed.*) **13** (1941) 77—80.
20. **I. M. Kolthoff a A. Langer:** *Journ. Amer. Chem. Soc.* **62** (1940) 211.
21. **K. Komárek:** *Collection* **12** (1947) 399—406.
22. **M. Kalousek:** *Collection* **11** (1939) 592—613.
23. **J. V. A. Novák: J. Heyrovský:** „Polarographie“, Springer Viedeň 1941, p. 313.
24. **M. Spálenka:** *Metallwirtschaft* **23** (1944) 341—3.
25. **J. J. Lingane a L. Jr, Meites:** *Journ. Amer. Chem. Soc.* **69** (1947) 1882—6; *Analyt. Chem.* **19** (1947) 159—61.
26. **J. J. Lingane:** *Analyt. Chim. Acta* **2** (1948) 584—601.
27. **R. Kraus a J. V. A. Novák:** *Chemie* **56** (1943) 302—3.
28. **M. v. Stackelberg, P. Klinger, W. Koch a E. Krath:** *Techn. Mitteil. Krupp Forschungsber.* **2** (1939) 59—85; *Arch. Eisenhüttenwes.* **13** (1939) 249—262.
29. **R. Strubl:** *Collection* **10** (1938) 466—474.
30. **J. Herman:** *Collection* **6** (1934) 37—53.
31. **L. Holleck:** *Z. analyt. Chem.* **116** (1939), 16—166.
32. **C. J. van Nieuwenburg:** *Analyt. chim. acta* **2** (1948) 423,

## Diferenciálna polarografická metóda so synchronizovanými kvapkovými elektrodami

SAMO STANKOVĽANSKY

Diferenciálnou polarografickou metódou určujeme rozdiel prúdov, prechádzajúcich dvoma roztokmi s podobným složením. Takéto polarografické zariadenie opísal prvý raz r. 1942 G. Semerano<sup>1,2)</sup>. Jeho princíp je tento: (obr. 1.).